

بررسی قابلیت شاخص‌های مختلف دورسنجی در بارزسازی پوشش‌های سطح زمین در مناطق خشک (مطالعه موردی: نجم‌آباد ساوه‌جلاغ)

میترا شیرازی^{1*}، غلامرضا زهتابیان² و حمیدرضا متین فر³

*- نویسنده مسئول، کارشناس ارشد بیابان‌زادایی، دانشکده منابع طبیعی، دانشگاه تهران

پست الکترونیک: mtr_shirazi@yahoo.com

- استاد، دانشکده منابع طبیعی، دانشگاه تهران

- استادیار، دانشکده کشاورزی، دانشگاه لرستان

تاریخ دریافت: 88/05/20 تاریخ پذیرش: 88/12/12

چکیده

امروزه علاقه‌مندی زیادی به بررسی محتوای کیفی داده‌های ماهواره‌ای برای مطالعات مختلف علوم زمین وجود دارد. شاخص‌ها یکی از روش‌های بارزسازی در استخراج اطلاعات مفید در تصاویر ماهواره‌ایست. در این تحقیق سعی شده است تا اثر شاخص‌های مختلف از جمله شاخص‌های MIRV2 GREENNESS، TVI، VNIR، MND، MSAVI، GEMI، TSAVI، SAVI، WDV1 و GEMI، SI1، SI2، SI3، PD322، BI، INT1، INT2، PVI، استان تهران در نزدیکی هشتگرد بررسی شود. پوشش اراضی غالب منطقه را پوشش گیاهی متراکم (بیشتر شامل اراضی کشاورزی و پوشش‌های متراکم درختچه‌ای اطراف آبراهه‌ها در خرداده) و اراضی لخت تشکیل می‌دهد. نتایج نشان می‌دهد که شاخص‌های NIR، RA، IPVI، DVI، TSAVI و IR1 در بارزسازی پوشش‌های گیاهی مناطق خشک و شاخص‌های SI3، INT1، PVI، TVI، BI، SI2 و SI1 در بارزسازی سطح شوری مناسب می‌باشند. بررسی همبستگی شاخص‌های مختلف با یکدیگر نشان داد که شاخص‌های گیاهی بغير از شاخص DVI با یکدیگر دارای همبستگی بیش از 0/8 و همبستگی شاخص DVI با سایر شاخص‌های گیاهی حدود 0/4 می‌باشد. در ضمن تمامی شاخص‌های شوری دارای همبستگی بیش از 0/9 با یکدیگر می‌باشند. بنابراین می‌توان نتیجه گرفت که در منطقه مطالعاتی با استفاده از تصاویر سنجنده LISS-III، از شاخص‌های پوشش گیاهی که توانایی در بارزسازی پوشش گیاهی دارند می‌توان برای مطالعات مربوط به پوشش گیاهی و تهیه نقشه پوشش گیاهی استفاده نمود. همچنین از شاخص‌های شوری که دارای توانایی در بارزسازی سطح شور می‌باشند می‌توان برای مطالعات مربوط به شوری و تهیه نقشه‌های شوری استفاده نمود. در ضمن می‌توان از شاخص‌های پوشش گیاهی که دارای همبستگی بالایی با یکدیگر می‌باشند بجای یکدیگر و از شاخص‌های شوری که دارای همبستگی بالایی با یکدیگر می‌باشند بجای یکدیگر استفاده نمود.

واژه‌های کلیدی: شاخص‌های شوری، شاخص‌های گیاهی، سنجنده LISS-III، نقشه پوشش سطح زمین، همبستگی، خط خاک.

(مجموعه‌ای از اندازه‌گیری روی پوشش گیاهی) لازم است تا رابطه داده‌های ماهواره‌ای و متغیرهای پوشش گیاهی ارزیابی شود.

تداخل بین بازتاب‌های خاک و پوشش گیاهی، مشکلاتی را در تفسیر رقومی داده‌های ماهواره‌ای ایجاد می‌کند. حساسیت شاخص پوشش گیاهی به خاک زمینه با پوشش گیاهی متوسط (50 درصد پوشش سبز) حداقل است. بنابراین همواره تلاش شده تا شاخص‌های پوشش گیاهی را که قادرند آثار ناخواسته عواملی مانند خاک زمینه را کاهش دهند ارائه دهند.

در اصل بازتاب پوشش گیاهی در محدوده طیفی مرئی (0/66-0/43 میکرومتر)، کم و در محدوده مادون قرمز نزدیک (0/1-1/7 میکرومتر)، زیاد است. با توجه به این موضوع، ترکیب باندهای طیفی نور مرئی و مادون قرمز نزدیک، می‌تواند به تمایز کردن پوشش گیاهی از سطح خاک و آب کمک کند. این تفاوت باعث کاهش اثر بازتابهای خورشیدی و خاک و بهتر نشان داده شدن پوشش گیاهی می‌شود. به طوری که این قبیل شاخص‌ها بر حسب روش‌های ایجاد شده دارای انواع مختلفی می‌باشند از جمله:

- 1- شاخص‌های تفضیلی
 - 2- شاخص‌های نسبتی
 - 3- شاخص‌های نرمال شده
 - 4- شاخص‌های مبتنی بر حسب شیب خط خاک^۱
 - 5- شاخص‌های مبتنی بر فاصله از خط خاک^۲
- (Chehbouni *et al.*, 1994)

برای افزایش این تمایز در بعضی از شاخص‌ها، از شیب خط خاک و عرض از مبدأ خط خاک و همچنین

مقدمه

کسب اطلاعات درباره وضعیت پوشش گیاهی از قبیل میزان و پراکنش آنها برای متخصصان علوم طبیعی اهمیت زیادی دارد. گردآوری اطلاعات در مورد تغییرات پیوسته پوشش گیاهی توسط روش‌های معمولی بسیار مشکل و پرهزینه است. در این حالت، استفاده از داده‌های ماهواره‌ای امکان مطالعه گسترده پوشش گیاهی را فراهم می‌کند. به منظور کاهش اثر عوامل ناخواسته روی اطلاعات پوشش گیاهی و افزایش اطلاعات مربوط به پوشش گیاهی، می‌توان حداقل دو باند را ترکیب و شاخص مرکبی به نام شاخص پوشش گیاهی^۳ (VI) ایجاد کرد (علوی پناه، 1382). در واقع، هدف از ایجاد شاخص‌های پوشش گیاهی، آن است که برخی ویژگی‌های پوشش گیاهی نظیر خصوصیات تاج پوشش، زیست‌توده، تولید، سطح برگ یا درصد پوشش گیاهی استخراج و ارزیابی شود. در مناطق خشک و نیمه خشک، ترکیب پیچیده نوع خاک، آثار جویی و پوشش‌های تنک گیاهی، امکان استخراج اطلاعات قابل اعتماد را کاهش داده و از تشخیص پوشش‌های گیاهی کمتر از 30 درصد ممانعت می‌کند. بنابراین، همواره تلاش شده تا شاخص‌های پوشش گیاهی را که قادرند آثار ناخواسته عواملی مانند خاک زمینه را کاهش دهند. (Anderson & Hanson, 1992) معتقدند رابطه شاخص‌های گیاهی و بیوماس به عواملی مانند تغییر زاویه خورشید، بازتابش، پوشش‌های شبه برگی، آلوودگی‌های جویی، سایه، وضعیت گیاه و میزان توده خشک سرپا بستگی دارد. به دلیل تأثیرات این گونه عوامل بر شاخص‌ها و بیوماس

2. slope base

3. Distance base

1. Vegetation index

IPVI¹¹, SAVI¹² و NDVI² در جداسازی شهر، اراضی لخت، مراتع فقیر، کشت آبی و دیم استفاده کرد. (نوری، 1384) به منظور تعیین شاخص‌های مناسب ارزیابی پوشش گیاهی مراتع ییلاقی با پوشش گیاهی مناسب شاخص‌های VI10, PD321¹³, TGR¹⁴, GVI¹⁵, MIRV2, MIRV1, VI5¹⁶, VI9 ارزیابی این گونه مناطق مناسب تشخیص داد (2002 Gilabert, GSAVI¹⁷). شاخص شاخص برای کاهش اثرهای بازتابهای نامطلوب جهت مطالعات پوشش سطح زمین مناسب دانست. (Zarco-Tejada *et al.*, 2005) برای مطالعه میزان NDVI, MTVI¹⁸, TCARI و OSAVI¹⁹, MCARI²⁰, این نتیجه رسیدند که شاخص‌های یادشده دارای همبستگی قابل قبولی با شاخص سطح برگ (LAI²¹) دارند. (Inoue *et al.*, 2007) از شاخص NDSI²² که همان شاخص NDVI است و از ترکیب طول موجه‌ای NDSI[710, 520], NDSI [530, 550] [410] در سنجدنهای با رزولوشن بالا (AVHRR) بدست‌می‌آید در تخمین میزان فتوستتر گیاه برنج استفاده نمود.

10. Green Vegetation Index

11. Infrared Percentage Vegetation Index

12. soil-adjusted vegetation index

13. Potential Different

14. Triangular Green Ratio

15. Green Vegetation Index

16. Vegetation Index

17. Green Soil Adjusted Vegetation Index

18. Modified Triangular Vegetation Index

19. Optimized Soil-Adjusted Vegetation

20. Modified Chlorophyll Absorption in Reflectance Index

21. Leaf Area Index

22. Normalized Difference Spectral Indices

ضرایب تصحیح مربوطه نیز در ترکیب باندها استفاده می‌شود. شاخص‌های گیاهی اغلب اثرهای بازتابی پوشش گیاهی را تقویت کرده و به موازات آن اثرهای خاک زمینه، زاویه تابش خورشید، اثرهای توپوگرافی و اثرهای اتمسفری را تا حد ممکن کاهش می‌دهند.

معادله خط خاک، رابطه رگرسیونی بین ارزش‌های طیفی خاک لخت در دو باند طیفی قرمز و مادون قرمز نزدیک است. مفهوم خط خاک، کلید مهمی برای فهم عملکرد شاخصها از جمله شاخصهای گیاهی می‌باشد. (1376) شاخص‌های NIR², TVI¹, MND⁴ و MIRV2³ را در ارتباط با پوشش گیاهی بررسی کردند و به این نتیجه رسیدند که در مناطق خشک که پوشش گیاهی ضعیف می‌باشد همبستگی این شاخص‌ها با پوشش گیاهی کم است. (حسینی، 1381) MIRV2 TVI, NIR, NDVI⁵, MND⁶ و VNIR¹ را مطالعه نمود و بیان کرد که شاخصهای یادشده با پوشش گیاهی در سطح احتمال 5٪ دارای همبستگی می‌باشند. (Chehbouni *et al.*, 1994) شاخصهای SAVI⁸, NDVI⁷ و WDVI⁷ را در بارزسازی بارزسازی پوشش گیاهی و کاهش اثرهای بازتاب خاک بررسی نمودند و به این نتیجه رسیدند که از بین شاخصهای یادشده، شاخص MSAVI توانایی بیشتری در بارزسازی پوشش‌های گیاهی و کاهش اثرهای خاک دارد. (فیله‌کش، 1379) از شاخص‌های RVI⁹, GVI¹⁰ و MSAVI¹¹ توانایی بیشتری

1. Triangular Vegetation Index

2. Normalized Infrared Ratio

3. Modified infrared ratio Vegetation

4. Modified Normalized Difference

5. Normalized Difference Vegetation Index

6. Vegetation Normalized infrared Ratio

7. Weighted Difference Vegetation Index

8. Soil & Atmospheric Vegetation Index

9. Ratio Vegetation Index

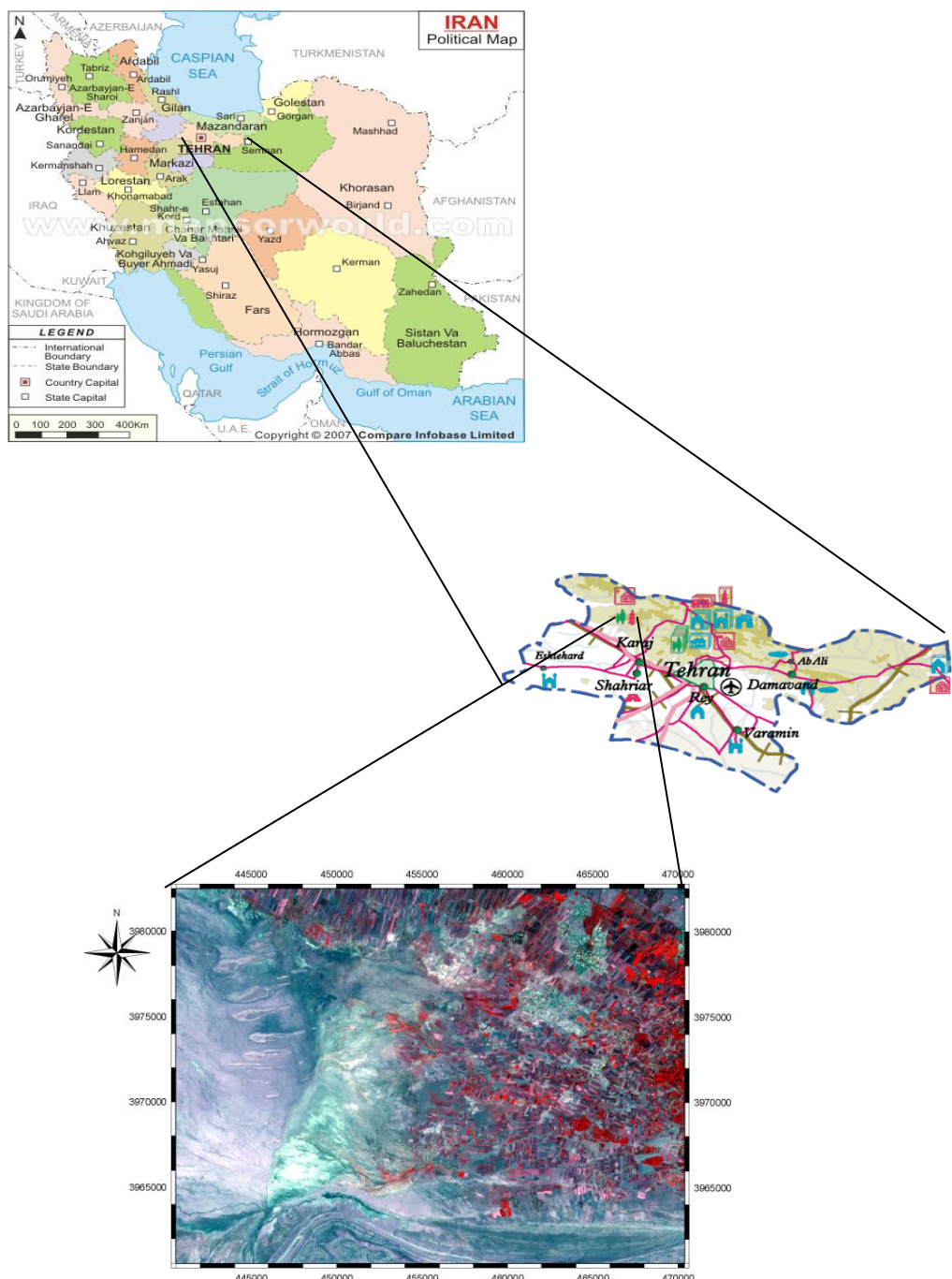
3960578 شرقی و 3960539 شمالی تا 470398 جنوبی و دارای مختصات جغرافیایی 50 درجه و 40 دقیقه شرقی و 35 درجه و 45 دقیقه و 20 ثانیه شمالی، غربی‌ترین نقطه منطقه دارای مختصات 50 درجه و 22 دقیقه و 30 ثانیه شرقی و 35 درجه و 47 دقیقه و 45 ثانیه شمالی می‌باشد. فیزیوگرافی منطقه شامل دشت، تپه، اراضی مسطح و ارتفاع متوسط از سطح دریای آزاد 1153 متر می‌باشد (شکل 1). میانگین بارندگی سالانه 229/4 میلی‌متر (آمار و اطلاعات بیست‌ساله ایستگاه هواشناسی نجم‌آباد) و اقلیم طبق سیستم طبقه‌بندی آمبرژه خشک سرد و در سیستم طبقه‌بندی دومارتون خشک می‌باشد (آمار اقلیمی ایستگاه نجم‌آباد). خاکهای منطقه تحت گروههای Xeric و Typic Haplosalids و Typic Torriorthents اقلیم طبقه‌بندی Torriothents می‌شوند.

TSAVI¹, PVI², (Wiegand, 1991) SPOT با داده‌های GVI², VI میزان تولید محصول کتان در مناطق تحت تأثیر شوری، با کمک داده‌های استفاده نمودند. Gitelson, 2002) محتواهای اطلاعاتی باندهای مادون‌قرمز نزدیک و قرمز را برای تخمین میزان کاهش پوشش گیاهی در طی سالهای 1990 تا 2000 بررسی نمود.

مواد و روشها

منطقه مورد مطالعه در شمال‌غربی استان تهران و جنوب شرقی شهر هشتگرد قرار دارد. این منطقه بر حسب سیستم تصویر³ UTM³ در زون 39 شمالی قرار دارد و دارای مختصات متريک 4405628 غربی تا

-
1. Transformed Chlorophyll Absorption in Reflectance Index
 2. Perpendicular Vegetation Index
 3. Universal Transform Mercator

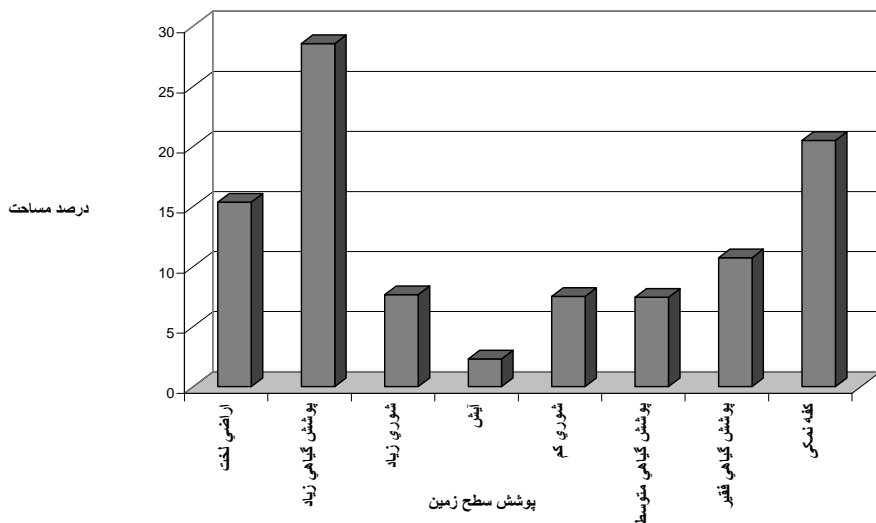


شکل ۱- موقعیت منطقه مورد مطالعه

در این تحقیق ابتدا پنجره‌ای از داده‌های سنجنده LISS_III مربوط به منطقه مورد مطالعه انتخاب شد که در جدول ۱ مشخصات این سنجنده آورده شده است.

جدول 1- مشخصات سنجنده LISS-III از ماهواره IRS_P6 Resource

تاریخ تصویربرداری	1385/3/16 یا ژوئن 2006	تاریخ تصویربرداری
23/5 متر	BAND GREEN	
23/5 متر	BAND RED	قدرت تفکیک زمینی
23/5 متر	BAND NIR	
23/5 متر	BAND SWIR	
140 کیلومتر	کلیه باندها	عرض تصویربرداری
7 بیت	کلیه باندها	قدرت تفکیک رادیومتری
520-590 نانومتر	BAND GREEN	
620-680 نانومتر	BAND RED	محدوده طیفی
680-770 نانومتر	BAND NIR	
1550-1700 نانومتر	BAND SWIR	
916		سطر
1244		ستون
سیستماتیک		سطح تصویجات
GEOTIFF		فرمت



جدول 2- شاخص‌های شوری و پوشش گیاهی مورد استفاده در این تحقیق

شاخص	منبع	معادله	شاخص	منبع	معادله
BI ¹	Gao (1996)	$\sqrt{R^2 \frac{+}{-} NIR^2}$	VNIR1	Leprieur et al., (1994)	$\frac{NIR \frac{-}{+} G}{NIR \frac{+}{-} G}$
INT2 ²	Haboudane et al. (2004)	$\frac{G \frac{+}{-} R \frac{+}{-} NIR}{2}$	MND	Ambast et al., (2002)	$\frac{NIR \frac{-}{+} (1.2 \frac{+}{-} R)}{NIR \frac{+}{-} R}$
INT1 ³	Haboudane et al. (2004)	$\frac{Green \frac{+}{-} Red}{2}$	IPVI	Wiegand & Richardson (1997)	$\frac{NIR}{NIR + red}$
IR1	Pen~ uelas et al. (1995)	$\frac{NIR \frac{-}{+} SWIR}{NIR \frac{+}{-} SWIR}$	DVI ⁴	Rougean & Breon (1995)	NIR-RED
MIRV2	Daughtry et al. (2000)	$\frac{SWIR \frac{-}{+} NIR}{SWIR \frac{+}{-} NIR}$	PVI ⁵	Wiegand & Richardson (1997)	$\sin(b)NIR - \cos(b)RED$
MSI	Chen (1996)	$\frac{SWIR}{NIR}$	WDVI ⁶	Clevers (1998)	NIR-(GREEN×RED)
NDVI	Rouse et al., (1974)	$\frac{NIR \frac{-}{+} R}{NIR \frac{+}{-} R}$	SAVI ⁷	Huete (1988); Qi et al., (1994)	$\frac{NIR-RED}{NIR+RED+L}$
NIR	Vogelmann et al., (1993)	$\frac{NIR}{R}$	TSAVI ⁸	Baret et al., (1998)	$\frac{(a \times NIR + red - a \times s + X(1 + s \times s))}{NIR-RED}$
PD322	Barnes (1992)	$\frac{R \frac{-}{+} G}{R \frac{+}{-} G}$	MSAVI ⁹	Qi et al., (1994)	$\frac{(1+l) \times (NIR+RED+I)}{RED - 0.125}$
RA	Welles & Norman, (1991)	$\frac{NIR}{R \frac{+}{-} SWIR}$	GEMI ¹⁰	Pinty & Verstraete (1991)	$\frac{\eta \times (1 - 0.25 \times \eta) - 1 - RED}{0.2839 \times GREEN - 0.6943 \times RED + 0.6614 \times N}$
SI1 ¹¹	Markham & Barker (1985)	$\sqrt{G * R}$	GVI ¹²		IR
SI2	Markham & Barker (1985)	$\sqrt{G^2 \frac{+}{-} R^2 \frac{+}{-} NIR^2}$	TVI	Broge & Leblanc (2000)	$\frac{NIR \frac{-}{+} R}{NIR \frac{+}{-} R} + 0.5$
SI3	Markham & Barker (1985)	$\sqrt{G^2 \frac{+}{-} R^2}$	OSAVI ¹³	Rondeaux et al., (1996)	$\frac{IR-RED}{NIR+RED+0.16}$

1. Brightness index

2. Intensity within the visible spectral range

3. Intensity within the VIS_NIR spectral range

4. Difference Vegetation Index

5. Perpendicular Vegetation Index

6. Weight Differenced Vegetation Index

7. Soil Adjustment Vegetation Index

8. Transformed Soil Adjustment Vegetation Index

9. Modified Soil Adjusted Vegetation Index

10. Global Environmental Monitoring Index

11. Saline Index one

12. Greenness Vegetation Index

13. Optimized Soil-Adjusted Vegetation

گیاهی اقدام شد، به طوری که (جدول 2) شاخص‌های استفاده شده در این تحقیق را نشان می‌دهد.

در مناطقی که تغییرات درخشندگی خاک ناشی از اختلاف رطوبت، تغییرات صافی و زبری، سایه یا اختلاف در میزان مواد آلی وجود دارد، اثرهای خاک روی مقادیر شاخص پوشش گیاهی محسوس است. تداخل بین بازتابهای خاک و پوشش گیاهی مشکلاتی را در مطالعات ایجاد می‌کند، بنابراین برای افزایش تمایز در بعضی از شاخص‌ها، از شیب خط خاک و عرض از مبدأ خط خاک استفاده می‌شود. بطور کلی، اغلب شاخصهای پوشش گیاهی مبتنی بر خط فرضی خاک هستند. خط خاک برازشی بین پراکنش بازتاب نمونه‌ها در فضای دو بعدی بین باندهای قرمز و مادون قرمز نزدیک است (علوی پناه، 1382). جهت محاسبه خط خاک بر روی تصویر ماهواره‌ای، محلهایی از منطقه که خاک عاری از پوشش گیاهی می‌باشد (خاک لخت) انتخاب شده و بعد درجات روشنایی نقاط استخراج شده و پراکنش روشنایی نقاط نمونه در فضای دو بعدی باندهای قرمز(محور X ها) و باند مادون قرمز نزدیک (محور Y ها) رسم می‌شود، خطی که معرف بهترین برازش بر پراکنش نقاط باشد، خط خاک است. در این تحقیق 20 نقطه بر روی تصویر ماهواره جایی که خاک لخت بود انتخاب گردید و بعد از استخراج درجات روشنایی آنها بهترین برازش از نوع Polynomial بدست آمد که معادله آن بصورت زیر می‌باشد. (شکل 3) نمودار معادله خط خاک با روشهای مختلف برازش نقاط را نشان می‌دهد. از خط خاک برای تهیه برخی از شاخصها استفاده می‌شود.

$$\begin{aligned} Y &= a + bX \\ Y &= 29.96 + 0.583X \end{aligned}$$

a: عرض از مبدأ

b: شیب خط خاک

Y: معادله خط خاک

b: زاویه خط خاک؛ a: عرض از مبدأ؛ S: شیب خط خاک؛ X: فاکتوری که میزان خطای بازتاب خاک را به حداقل می‌رساند که معمولاً معادل 0/08 است؛ L: فاکتور تصحیح که برای مراع خوب برابر با 0 و برای مراع بسیار ضعیف برابر با 1 می‌باشد.

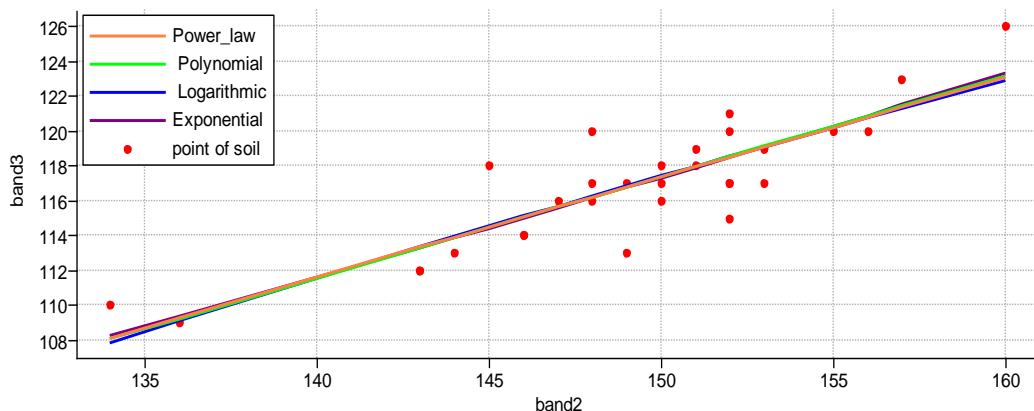
$$I = 1 - 2 \times s \times NDVI \times WDV$$

$$\text{eta} = \frac{2 \times (NIR^2 - red^2) + 1.5 \times NIR + 0.5 \times red}{NIR + red + 0.5}$$

با بررسی نقشه‌های رقومی شده زمین‌شناسی، کاربری اراضی و پوشش گیاهی منطقه و تفسیر بصری تصاویر ماهواره‌ای عوارض و کاربریهای مختلف شناسایی شد و اطلاعات کلی از منطقه بدست آمد، سپس با چند بازدید میدانی، عوارض موجود بر روی تصاویر ماهواره با واقعیت زمینی مطابقت داده شد و عوارض مبهم که بر روی تصویر ماهواره بخوبی مشخص نبودند شناسایی شد. بدین صورت کلیه کاربریهای منطقه مشخص شد.

به طوری که سطحی از این منطقه را اراضی لخت و شورهزار تشکیل می‌دهد. دیگر کاربریهای این منطقه شامل مراع، باغ، زراعت دیم (گندم و جو)، کشت آبی (یونجه، هندوانه، ذرت علوفه‌ای، گوجه، خیار و حبوبات) و رودخانه‌های فصلی می‌باشد. (شکل 2) مساحت پوشش‌های مختلف سطح زمین را که از نقشه پوشش سطح بدست آمده نشان می‌دهد. همان‌طور که ملاحظه می‌شود بیشترین درصد پوشش سطح زمین مناطقی با پوشش گیاهی متراکم (بیشتر شامل اراضی کشاورزی و پوشش‌های متراکم (بیش از 30٪) اطراف آبراهه‌ها آنهم بدلیل فصل خرداد ماه) و اراضی لخت می‌باشد.

پس از بررسی خطاهای رادیومتریک و تصحیح خطای هندسی نسبت به تهیه 26 نوع شاخص شوری و پوشش



شکل ۳- نمودار معادله خط خاک با روش‌های مختلف برآذش

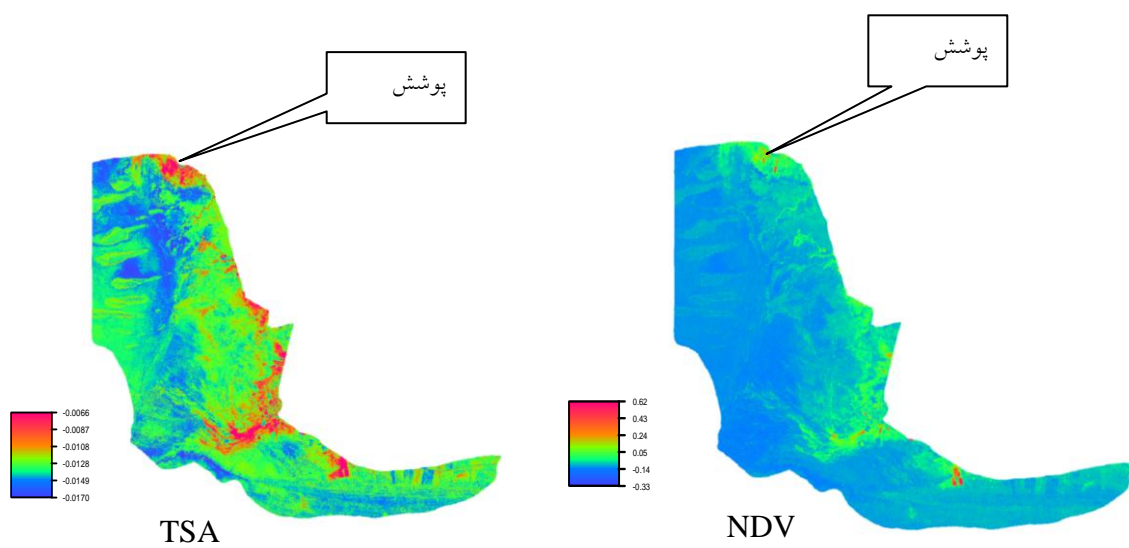
شاخص‌های GREENESS، MIRV2، NDVI، GEMI و WDVI، SAVI، OSAVI، MSAVI بازسازی پوشش گیاهی نبودند نیز بصورت گروهی طبقه‌بندی شدند. پس از بررسی ماتریس خطای صحت کلی و ضریب کاپا به ترتیب ۲۳٪ و ۱۰٪ بدست آمد. شکل ۴ شاخص TSAVI را که دارای توانایی بیشتری جهت بازسازی پوشش گیاهی بود و شاخص NDVI که در این تحقیق بخوبی قادر به بازسازی پوشش گیاهی نبود نمایش داده است. بطور کلی شاخص NDVI قادر به بازسازی پوششهای گیاهی متراکم می‌باشد ولی در مناطق با پوشش گیاهی فقیر توانایی بازسازی بالای ندارد. (Khajeddin, 1995)، نقشه درصد پوشش گیاهی را با استفاده از شاخص NDVI در منطقه جازموریان با دقت ۰.۶۵٪ تهیه نمود. وی بیان نمود که پوشش گیاهی کمتر از ۰.۱۵٪ دارای NDVI ثابتی است. هنگامی که پوشش ضعیف است خاک زمینه انعکاس پوشش گیاهی را می‌پوشاند و مانع از انعکاس پوشش گیاهی در تصویر می‌شود و درنتیجه NDVI کم می‌شود و مناطق دارای NDVI مشابهی می‌شوند. NDVI منفی بیانگر اثر بیشتر خاک زمینه نسبت به انعکاس پوشش گیاهی می‌باشد.

پس از ساخت شاخص‌های یادشده، با توجه به نقشه واقعیت زمینی شاخص‌هایی که پدیده‌های سطح زمین را بخوبی نمایش دادند انتخاب شد. سپس کلیه شاخص‌هایی که دارای توانایی تفکیک پوشش سطح زمین بودند همگی در یک طبقه‌بندی و کلیه شاخص‌هایی که قادر به تفکیک این پدیده‌ها نبودند در یک طبقه‌بندی دیگر لاحظ شدند و صحت هر کدام از طبقه‌بندیها با نقشه واقعیت زمینی بررسی شد.

نتایج

شاخص‌های پوشش گیاهی

در فرایند بازسازی به کمک شاخص‌ها، با توجه به ارتباط شاخص به پدیده مورد نظر ارزش بیشتری داده می‌شود و به سایر پدیده‌ها ارزش‌های کمتری تعلق می‌گیرد. به همین دلیل پدیده مورد نظر بصورت بازتر نمایش داده می‌شود. در واقع بازسازی توانایی تفکیک پدیده مطابق با توانایی بازسازی پدیده مربوط به شاخص می‌باشد. در این تحقیق شاخص‌های IPVI، IR1، NIR، RA، TSAVI و DVI که قادر به بازسازی پوشش گیاهی بودند بصورت گروهی طبقه‌بندی شدند، سپس ماتریس خطای طبقه‌بندی تشکیل شد. به طوری که از بررسی ماتریس خطای صحت کلی و ضریب کاپا به ترتیب ۷۹٪ و ۸۲٪ بدست آمد.



شکل 4- شاخص NDVI بدون قابلیت بازسازی پوشش گیاهی و شاخص TSAVI دارای قابلیت بازسازی پوشش گیاهی

با توجه به (جدول 3)، بیشترین تداخل طبی را کلاس پوشش گیاهی متوسط با کشت دیم، آیش و پوشش گیاهی ضعیف دارند. این امر بهدلیل وجود پوشش گیاهی ضعیف در این کلاسها و تشابه بازتاب طیفی آنها می‌باشد که باعث اختلاط بازتاب طیفی این کلاسهای با یکدیگر شده است.

اگر به مناطق مشخص شده (شکل 4) دقیق شود، در شاخص TSAVI کشت آبی با پوشش متراکم به خوبی مشخص شده است، در حالی که در شاخص NDVI پوششهای یادشده بخوبی باز نشده‌اند.

(جدولهای 3 و 4) ماتریس خطای طبقه‌بندی پوششهای گیاهی با شاخص‌های با قابلیت و بدون قابلیت بازسازی را نشان می‌دهد.

جدول 3- ماتریس خطای طبقه‌بندی پوششهای گیاهی با شاخص‌های گیاهی (DVI, IPVI, IR1, NIR, RA و TSAVI) (دارای قابلیت بازسازی پوشش گیاهی) که بصورت گروهی طبقه‌بندی شده‌اند.

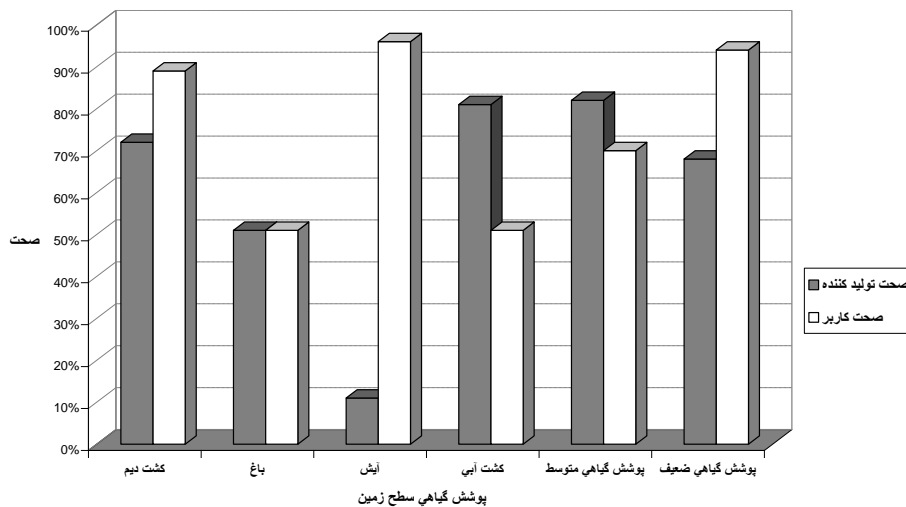
	اصح	شوری	پوشش گیاهی	شوری	آیش	آبی	کشت	باغ	باغ	دیم	لخت	اراضی
کشت دیم	19	33254	2089	2	0	1444	8	7204	1972	0	.72	
باغ	0	230	2371	0	0	1251	0	763	8	0	.51	
آیش	661	8	0	2	433	8	170	2743	92	0	.11	
کشت آبی	33	311	13	99	5	4410	0	448	117	0	.81	
پوشش گیاهی متوسط	6146	989	173	51	0	1017	38	53124	2916	50	.82	
پوشش گیاهی ضعیف	44492	2637	22	2546	11	428	383	10969	129701	49	.68	
اصح کاربر	0	.89	.51	.79	.96	.51	.88	.70	.94	0.79		

جدول 4 - ماتریس خطای طبقه‌بندی پوشش‌های گیاهی با شاخص‌های GEMI, GREENESS, MIRV2, WDVVI SAVI, و NDVI و OSAVI, MSAVI, (بدون قابلیت بارزسازی پوشش گیاهی) که بصورت گروهی طبقه‌بندی شده‌اند.

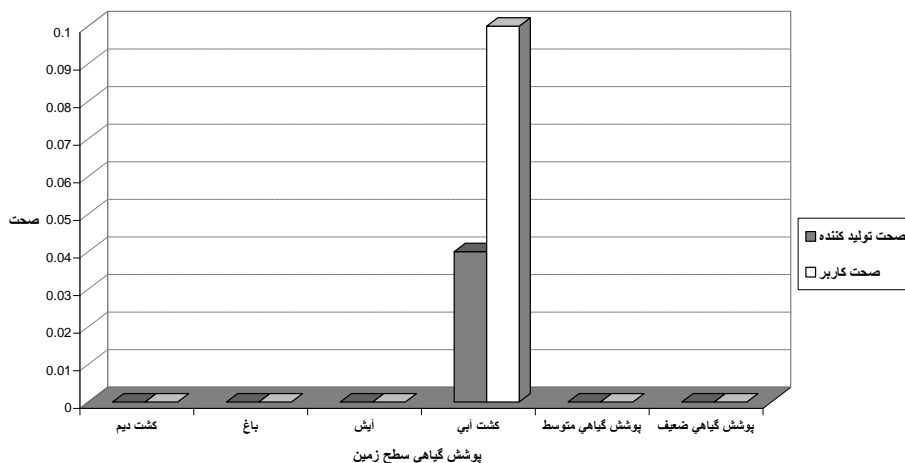
	کشت اراضی لخت	کشت دیم	باغ	شوری زیاد	آیش	کشت آبی	شوری کم	پوشش گیاهی متوسط	پوشش گیاهی ضعیف	شوری ضعیف	صحت تولیدکننده
کشت دیم	0	0	0	0	0	0	0	0	0	0	0
باغ	0	0	0	0	0	0	0	0	0	0	0
آیش	0	0	0	0	0	0	0	0	0	0	0
کشت آبی	155	0	0	88	13	1764	135	45334	1094	11	.4
پوشش گیاهی متوسط	0	0	0	0	0	0	0	0	0	0	0
پوشش گیاهی ضعیف	0	0	0	0	0	0	0	0	0	0	0
صحت کاربر	.96	0	0	.85	0	.10	.1	0	0	.73	

شکل‌های 5 و 6 صحت پوشش گیاهی با شاخص‌های با قابلیت بارزسازی و بدون قابلیت بارزسازی پوشش گیاهی را نشان می‌دهد.

با توجه به (جدول 4) شاخص‌های GEMI, GREENESS, MIRV2, NDVI, WDVVI SAVI, و MSAVI و OSAVI پوشش‌های گیاهی را بخوبی تفکیک نکرده بنابراین توانایی بارزسازی پوشش‌های گیاهی را ندارند.



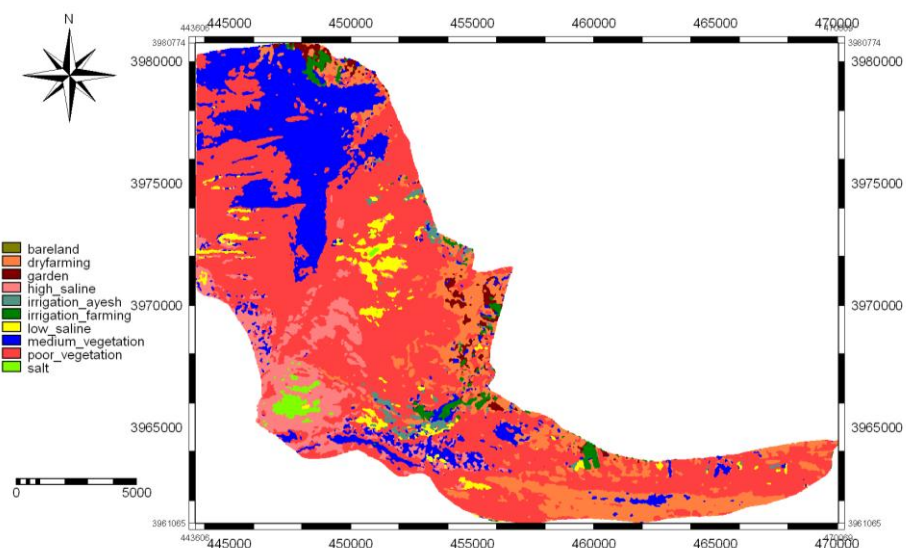
شکل 5 - مقایسه صحت کاربر و تولیدکننده در شاخص‌های با قابلیت بارزسازی پوشش گیاهی



شکل 6- مقایسه صحت کاربر و تولیدکننده در شاخص‌های بدون قابلیت بارزسازی پوشش گیاهی

طبقه‌بندی بیشتر شده است، مثلاً صحت تولیدکننده و کاربر در کشت آبی با پوشش گیاهی متراکم، بیش از همه (80٪) و به سمت پوشش گیاهی کمتر (مانند اراضی آیش) که سطح زمین فاقد پوشش گیاهی مناسب می‌باشد) صحت تولیدکننده و کاربر کمتر (10٪) شده است. اما در طبقه‌بندی با شاخص‌های فاقد توانایی بارزسازی صحت تولیدکننده و کاربر برای کلیه پوششهای گیاهی کمتر از مقدار قابل قبول (10٪) می‌باشد.

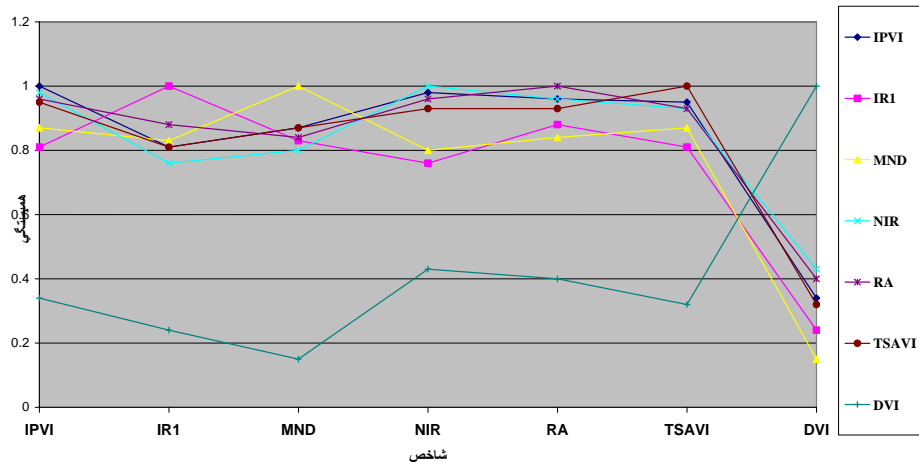
با توجه به شکلهای 5 و 6 شاخصهای با قابلیت بارزسازی پوشش گیاهی را بخوبی تفکیک نموده و دارای صحت کاربر و تولیدکننده بیش از 80٪ می‌باشند. در حالی که شاخص‌های بدون توانایی بارزسازی، دارای صحت کاربر و تولیدکننده کمتر از 10٪ می‌باشند، بنابراین نتوانستند پوشش گیاهی را بخوبی تفکیک کنند، اما در شاخص‌های با قابلیت بارزسازی هر چقدر پوشش گیاهی متراکم‌تر باشد صحت تولیدکننده و کاربر حاصل از



شکل 7- نقشه پوشش سطح زمین با شاخص‌های توانایی بارزسازی پوشش گیاهی

محتوای اطلاعاتی یکسان آنها می‌باشد. بنابراین در مطالعات پوشش گیاهی می‌توان فقط از یکی از آنها استفاده نمود. در ضمن ترکیب هر کدام از شاخص‌ها با شاخص DVI دارای اطلاعات بیشتری می‌باشد.

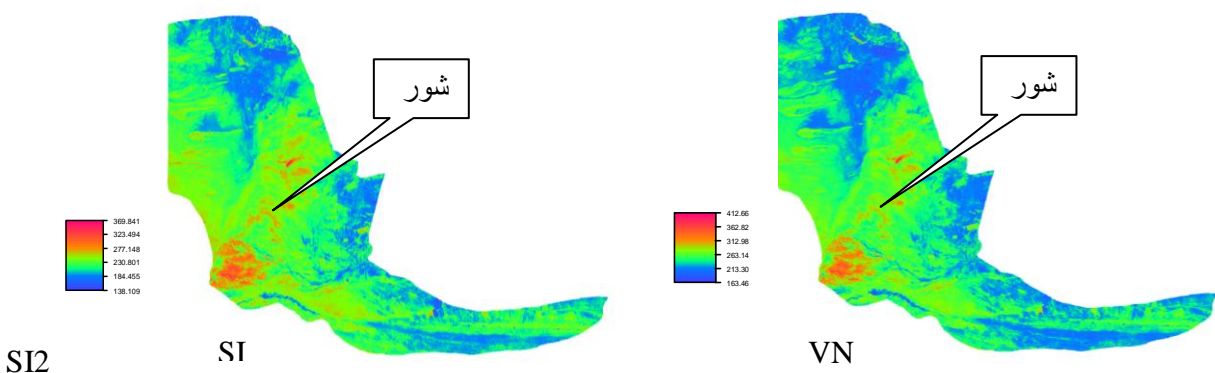
در ضمن همبستگی شاخص‌هایی که قابلیت بارزسازی پوشش گیاهی را دارند با یکدیگر بررسی شد، به طوری که با توجه به شکل 8 تمامی شاخص‌هایی که توانایی بارزسازی پوشش گیاهی را دارند بعیر از شاخص DVI با یکدیگر دارای همبستگی هستند و این نشان‌دهنده



شکل 8- همبستگی شاخص‌های با قابلیت بارزسازی پوشش گیاهی شاخص‌های شوری

به ترتیب 8/55٪ و 44٪ می‌باشد. شکل 9 یک نمونه از شاخص‌های با قابلیت بارزسازی و شاخص VNIR که قادر به بارزسازی سطح شور نمی‌باشد را نشان می‌دهد. از بین این شاخص‌ها، شاخص SI2 را که دارای بهترین بارزسازی تصاویر بودند نمایش داده شد و از نمایش بقیه شاخص‌ها صرف‌نظر گردید.

از میان شاخص‌های شوری، شاخص‌های INT1, PVI, BI و SI1, SI2, SI3, TVI اراضی شور می‌باشند که همگی بصورت گروهی طبقه‌بندی شدند. صحت کلی و ضریب کاپا به ترتیب 84٪ و 81٪ می‌باشد. شاخص VNIR قادر به بارزسازی شورهزارها نمی‌باشد و دارای صحت کلی و ضریب کاپای



شکل 9 - شاخص VNIR بدون قابلیت بارزسازی و شاخص SI2 با قابلیت بارزسازی سطح شور

اگر به مناطق مشخص شده (شکل 9) دقیق شود، در شاخص SI2 سطح سور با رنگ قرمز بخوبی بارز شده است، در حالی که در شاخص VNIR سطح سور به خوبی مانند شاخص SI2 بارز نشده است.

جدول 5- ماتریس خطای طبقه‌بندی شوری با شاخص‌های TVI , $INT1$, PVI , $SI1$, $SI2$, $SI3$, TVI و BI (با قابلیت بارزسازی شوری) که بصورت دسته‌جمعی، طبقه‌بندی شده‌اند.

توالید کننده	صحت	شوری	پوشش گیاهی	پوشش گیاهی	شوری	آیش	شوری زیاد	باغ	کشت دیم	لخت	اراضی
اراضی لخت	.98	2	822	390	50	4	4	65	0	0	64071
شوری زیاد	.96	356	380	35	11	1	0	18427	0	0	75
شوری کم	.95	2	138	31	5166	0	9	28	0	0	76
شوری	.80	2933	53	41	91	0	0	<u>308</u>	0	0	37
صحت کاربر	.89	.96	.96	.95	.95	.92	.96	.96	0	0	.99

در نهایت موجب اختلاط بازتاب طیفی این کلاسه‌ها با یکدیگر شده است.

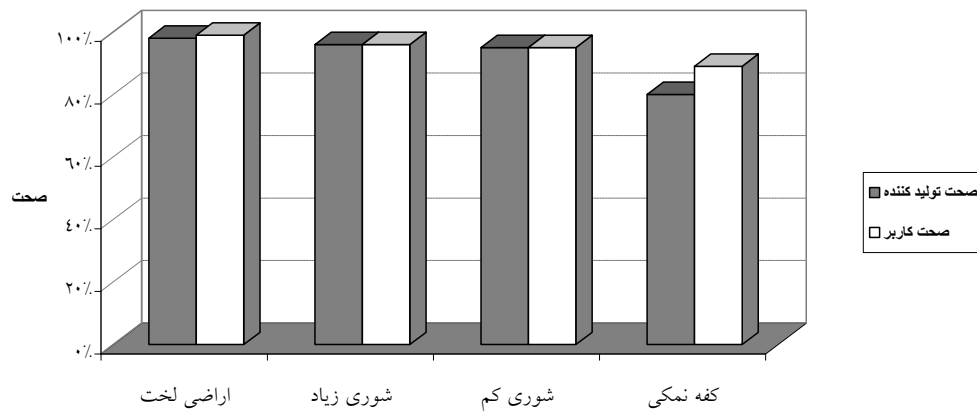
بیشترین تداخل طیفی را کلاسه زمین کاملاً شور با کلاسه شوره‌زارها با شوری زیاد دارند. این امر به دلیل شوری زیاد و تشابه بازتاب طیفی آنها با یکدیگر است که

جدول 6 - ماتریس خطای طبقه‌بندی شوری یا VNIR (شاخص‌های بدون قابلیت یارزسازی شوری)

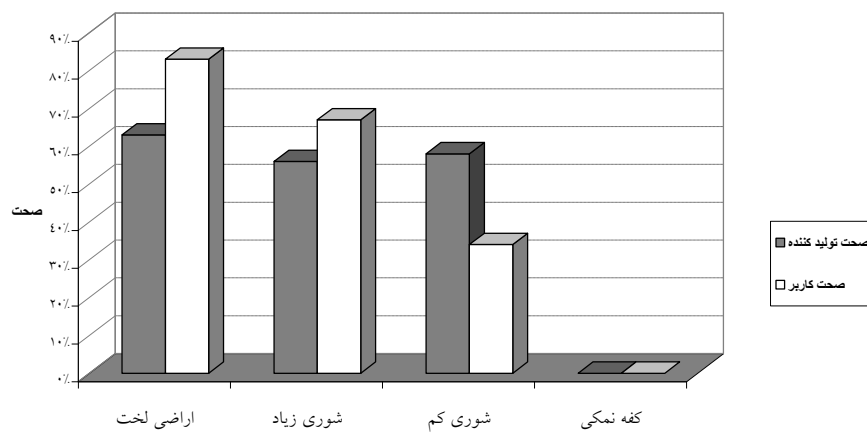
	اصح	پوشش شوری	پوشش گیاهی فقیر	پوشش گیاهی	متوسط	کم	آبی	ایش	زیاد	باغ	دیم	لخت	اراضی	اصحت
اراضی لخت	53843	0	0	5191	2	5	84	345	26427	3	763			
شوری زیاد	1710	0	0	12856	3	15	2889	33	2159	3144	756			
شوری کم	79	0	0	1012	0	5	1839	36	151	55	758			
شوری	55	0	0	1	0	27	5	67	0	0	0			
اصحت کاربر	٪83	0	0	٪67	٪98	٪2	٪34	٪34	٪66	0				

بارزسازی شوری دارای قابلیت بالایی در تفکیک شوره‌زارها (بالای ۸۰٪) هستند، ولی صحت تولیدکننده و کاربر در شاخص‌های بدون توان بارزسازی کمتر از ۷۰٪ می‌باشد که در حد قابل قبول نیست و بنابراین توان تفکیک سطح شوری را ندارند.

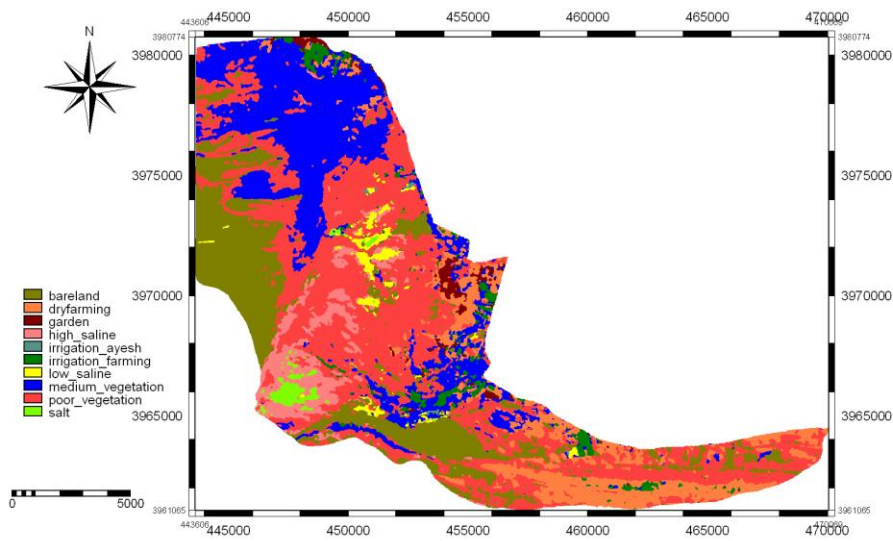
با توجه به جدول ۶ شاخص VNIR نتوانسته سطح شوری را به خوبی از یکدیگر تفکیک کنند. شکل‌های ۱۰ و ۱۱ صحت کاربر و تولیدکننده را در شاخص‌های با قابلیت و بدون قابلیت بارزسازی شوری نشان می‌دهد، با توجه به این شکل‌ها، صحت تولیدکننده و کاربر در کلیه شوره‌زارها با شاخص‌های با قابلیت



شکل ۱۰- نمودار مقایسه صحت کاربر و تولیدکننده در شاخص‌های با قابلیت بارزسازی شوری

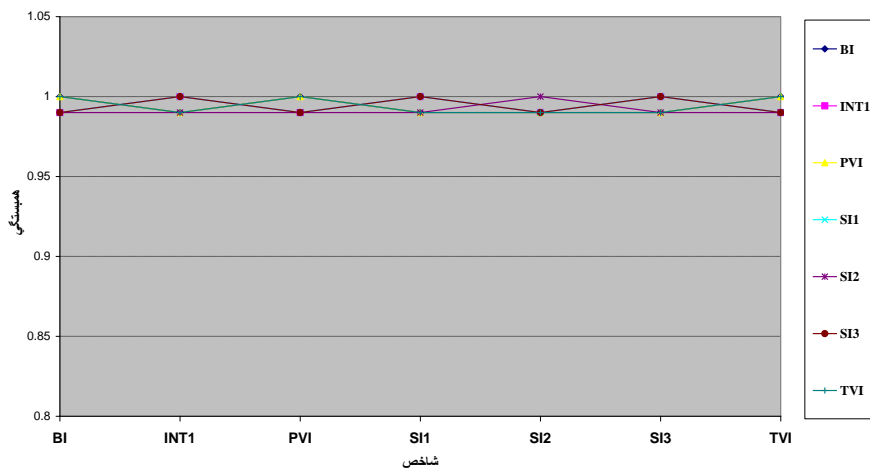


شکل ۱۱- نمودار مقایسه صحت کاربر و تولیدکننده در شاخص‌های بدون قابلیت بارزسازی شوری



شکل 12 - نقشه پوشش سطح زمین با شاخص‌های توانایی بارزسازی شوره‌زار

شکل 12 نقشه پوشش سطح زمین با شاخص‌های شوری را نشان می‌دهد.



شکل 13- همبستگی شاخص‌های با قابلیت بارزسازی شوری

بحث

منطقه مورد مطالعه یک منطقه خشک و اغلب دارای خاک شور می‌باشد و همچنین با توجه به این مسئله که تنوع پوشش گیاهی کم است و اکثراً مراتع از نوع فقیر با پوشش گیاهی کمتر از 10٪ (پوشش گیاهی متراکم بطور موردي در برخی نقاط مانند اراضي کشاورزی و اطراف

این می‌توان در مطالعات شوری فقط از یکی از آنها استفاده‌شکل 13 همبستگی شاخص‌های دارای توان تغییک شوری را با یکدیگر نشان می‌دهد. کلیه شاخص‌های شوری با یکدیگر دارای بیشترین همبستگی می‌باشند و در نتیجه دارای محتواي اطلاعاتی يكسان بوده؛ بنابر نمود.

(Dwivedi & Ramana, 2000) توانستند در فرانسه با استفاده از داده‌های اسپیات و به کمک نقشه DEM و شاخص‌های NDVI و BI انواع خاکها را تفکیک نمایند. این محققان از شاخص روشنایی (BI) جهت تمایز بین سنگها و انواع واحدهای خاک استفاده کردند، بگونه‌ای که خاکهای دارای ساختمان ناپایدار و حاوی مقادیر زیاد آهک، دارای مقادیر بالای بازتاب بودند. (Wyatt & Fuller, 1997) در اسکاتلند اقدام به تهیه نقشه پوشش گیاهی با استفاده از داده‌های رقومی TM نمودند و نتیجه گرفتند که مقادیر NDVI با مدیریت‌های مختلف و فصول مختلف سال تغییر می‌کنند. تغییر مقادیر NDVI در قسمت آخر فصل رشد، احتیاج به اطلاعات جانبی منطقه دارد و بازتاب‌ها از فصلی به فصل دیگر و با توجه به دوره کاشت محصولات تغییر می‌کنند.

(Frederic et al., 2000) در نیجر بین داده‌های ماهواره‌ای در مقیاسهای متفاوت به منظور پایش پوشش گیاهی مقایسه‌ای را انجام دادند، نتایج نشان داد که بین شاخص‌های طیفی و بایومس یک رابطه غیرخطی وجود دارد و استفاده از شاخص‌های NDVI & MSAVI & GEMI برای مطالعات جزئیات بایومس مفید می‌باشد. (Mickelson et al., 2000) از داده‌های رقومی ماهواره لندست 5 جهت ارزیابی و شناخت منابع آب و خاک مناطق خشک غرب تگزاس استفاده کردند، این داده‌ها شامل پوشش گیاهی و نمونه‌های خاک بودند. همچنین شاخص مغناطیسی (EMI)¹، شاخص سبزی (GI)² و شاخص چگ سطحی (SGI)³ را اندازه‌گیری کردند. آنها توضیح دادند که بین EMI و مقادیر بازتابهای طیفی یک مدل رگرسیون چند متغیر با ضریب همبستگی

آبراهه‌ها وجود دارد) می‌باشند و یا زمین لخت و شوره‌زارها است. از این رو با توجه به توانایی بالای شاخص‌های DVI, IPVI, IR1, MND RA, TSAVI و NIR در بارزسازی پوشش گیاهی بنابراین می‌توان از آنها در مطالعات پوشش گیاهی استفاده نمود. در ضمن، با INT1, PVI, SI1, BI₂, SI3, TVI در بارزسازی شوره‌زارها می‌توان از آنها در مطالعات مربوط به شوری استفاده نمود.

(حسینی، 1381) بیان کرد که شاخص‌های MND، NDVI و MIRV2, VNIR1, TVI, NIR پوشش گیاهی در سطح احتمال ۵٪ دارای همبستگی می‌باشند. (فیله کش، 1379) داده‌های رقومی لندست 5 سال 1998 را پردازش کرد و از شاخص‌های IPVI و SAVI در جداسازی SAVI, GVI, RVI, NDVI₁, NDVI₂ شهر، اراضی لخت، مراعع فقیر، کشت آبی و دیم استفاده کرد. (فرزادمهر، 1383) شاخص‌های SAVI و TSAVI در یک منطقه نیمه‌استپی دارای همبستگی بالا در تشخیص گندمیان، فوربها و بوته‌ایها هستند و در یک منطقه استپی شاخص‌های GEMI, RVI, TSAVI₁ دارای همبستگی بالاتر می‌باشند. (فرجی، 1386) از لندست 7, 5 و 8 جهت بررسی روند تغییرات دیمزارهای کم بازده و رهاسده از شاخص NDVI و تسلدکپ و روش شی‌گرا + داده‌های کمکی استفاده نمود و از بین این روش‌ها، روش شی‌گرا + داده‌های کمکی دارای بیشترین صحت می‌باشد. (نوری، 1384) به منظور تعیین شاخص‌های مناسب ارزیابی پوشش گیاهی مراعع ییلاقی با پوشش گیاهی VI10, VI6, VI9, VI5 MIRV2, MIRV1 و GVI, MIRVV1, VI9T, TGR, PD321 برای ارزیابی این گونه مناطق مناسب تشخیص داد. (1991)

1 - Electromagnetic Inductance

2 - Greenness Index

3 - Surface Gypsum Index

- حسینی، س.ز.، 1381. بررسی قابلیت داده‌های ماهواره‌ای لندست ETM+ جهت تهیه نقشه کاربری اراضی (استان مازندران- منطقه چمستان)، پایان نامه کارشناسی ارشد مرتع- داری، دانشکده منابع طبیعی، دانشگاه تهران.
- جهاد دانشگاهی دانشکده کشاورزی و منابع طبیعی، 1382. مطالعات اجرایی بیابان‌زدایی نجم‌آباد.
- درویش‌صفت، ع.ا.، 1377. جزویه درسی سنجش از دور، دانشکده منابع طبیعی، دانشگاه تهران.
- فرجی، م.، 1386. بررسی روند تغییرات کاربری اراضی و برآورد پتانسیل تولید علوفه در دیمزارهای کم‌بازده و رهاشده، پایان نامه کارشناسی ارشد مرتع‌داری، دانشکده منابع طبیعی، دانشگاه تهران.
- فرزادمهر، ج.، ارزانی، ح.، درویش‌صفت، ع.ا. و جعفری، م.، 1383. بررسی قابلیت داده‌های ماهواره لندست 7 در برآورد تاج پوشش و تولید گیاهی (مطالعه موردی: منطقه نیمه‌استپی حنا - سمیرم)، مجله بیابان. 57(2): 352-339.
- فیله‌کش، ا.، 1379. بررسی قابلیت کاربرد داده‌های رقومی لندست برای تهیه نقشه پوشش گیاهی و مقایسه آن با روش زمینی در منطقه سیزوار، پایان نامه کارشناسی ارشد مرتع‌داری، دانشکده منابع طبیعی و علوم دریایی نور، دانشگاه تربیت مدرس.
- نوری، س.، 1384. تعیین شاخص‌های مناسب ارزیابی پوشش گیاهی مرتع بیالقی استان مازندران. پایان نامه کارشناسی ارشد مرتع‌داری، دانشکده منابع طبیعی و علوم دریایی نور، دانشگاه تربیت مدرس.
- علوی‌پناه، س.ک.، 1382. کاربرد سنجش از دور در علوم زمین (علوم خاک)، انتشارات دانشگاه تهران، چاپ اول، تهران. 478 صفحه.
- Anderson, G.L., & Hanson, J.D., 1992. Elvaluation Hand-held Radiometer Derived Vegetation Indices for estimating above- ground biomass. Geocarto Int.7:71-78
 - Chehbouni, J.Qi., A. Huete, A.R., Kerr, Y.H. and Sorooshian, S.A., 1994. Modified Soil Adjusted Vegetation Index. Remote Sensing of Environment 82. 303-310.
 - Dwivedi R.S. & Ramana, K.V., 2003. The delineationof reclamative group of ravines in the Indo_ Gangetic alluvial plain using IRS_1D LISS_III data. International Jornal of Remote Sensing . p:4347_4357

0/85 بدست آورند. (Vescovo & Harrison, 2007) برای مقایسه عوامل زیستی گیاهی و کارایی شاخص‌های گیاهی از ترکیب باندهای قرمز و مادون قرمز استفاده کردند. مطالعات مربوط به بیوماس و فیتومامس و LAI (شاخص سطح برگ) رابطه لگاریتمی بین NIR و باندهای مرئی را نشان می‌دهد، بطوری که شاخص NDVI حاصل از IRS دارای همبستگی 0/59 با عوامل یادشده و برای داده‌های SPOT مقدار 0/6 را نشان می‌دهد. شاخص‌ها برای مطالعه در این زمینه مفیدتر می‌باشند. بطوری که نسبت GR و شاخص‌ها بصورت خطی می‌باشند. بنابراین شاخص MIR با تاج پوشش رابطه بیشتری را نشان می‌دهد. به نحوی که رابطه بیوماس با داده‌های IRS 91٪ و با داده‌های SPOT 63٪ می‌باشد که از شاخص‌های MIR و NCI بهتر بدست می‌آید. همچنین فیتومامس و LAI و GR از شاخص NDVI و سیز FVI و LAI بدست می‌آید. بطورکلی در این مناطق بیوماس و فیتومامس و LAI و GR با شاخص MIR دارای یک رابطه خطی می‌باشد. در این مطالعات پلاتهایی با ابعاد 10×10 انتخاب شد و در این پلاتها فیتومامس، بیوماس، شاخص سطح برگ و GREEN RATIO (LAI) و DVI استفاده شد، بهطوری که کلیه شاخص‌های NDVIC، SRC، SAVI، RDI، MSR، NLI، NDVIG و NCI در این مطالعه و رابطه آنها با عوامل زیستی گیاهی بررسی گردید.

منابع مورد استفاده

- ارزانی، ح.، 1376. کاربرد اطلاعات رقومی ماهواره لندست TM در تخمین و تولید پوشش گیاهی، مجله منابع طبیعی ایران، جلد 50، شماره 23

- estimating photosynthetic efficiency and capacity at a canopy scale derived from hyperspectral and CO₂ flux measurements in rice. *Remote Sensing of Environment* 112: 156–172
- Vescovo, S.J. & Harrison, A.R., 2007. The NDVI & spectral decomposition for semi-arid vegetation abundance estimation. *International Journal of Remote Sensing*, 19(16):3109-3125
 - Wiegand, C.L., Richardson, A.J., Escobar, D.E. and Gerbermann, A.H., 1991. Vegetation Indices in Crop Assessments *Remote Sensing of Environment*. 35:105-119
 - Zarco-Tejada, P.J., Ustin, S.L. and Whiting, M.L., 2005. Temporal and Spatial Relationships between Within-Field Yield Variability in Cotton and High-Spatial Hyper spectral Remote Sensing Imagery *Agronomy Journal* April 27.
 - Wyatt, B.K. & Fuller, R.M., 1997. European application of space-born earth observation for land cover mapping, proceedings at the central symposium of the international space year conference, Munich, Germany, 30 March 1992, pp. 655-659.
 - Gilabert, M.A., Gonza'lez-Piqueras, J., Garcí'aHaro, F.J. and Melia, J.A. 2002. Generalized soil-adjusted vegetation index. *Remote Sensing of Environment* 82: 303–310
 - Gitelson, A.A., Stark, R., Grits, U., Rundquist, D., Kaufman, Y. and Derry, D., 2002. Vegetation and soil lines in visible spectral space: a concept and technique for remote estimation of vegetation fraction. *j. remote sensing*, , vol. 23, no. 13: 2537–2562
 - Frederic A., Danilo M., Hans-Jurgen S., Dmitry A., Lars L., Zengyuan L., Popatov P. and Yaroshenko A., 2000. Areas of rapid forest-cover change in boreal Eurasia. *Forest Ecology and Management* 237 (2006) 322–334
 - Khajeddin, S.J., 1995. A survey of the plant communities of the Jazmorrian, IRAN, Using landsat MSS data. Ph. D. thesis University of Reading
 - Mickelson, j.G., Civco & Silander, j.A., 2000. Delineating forest canopy photogrammetric Engineering & Remote sensing, 64(9):891-904.
 - Inoue, Y.J., Peñuelas, A. and Miyata, M., 2007. Normalized difference spectral indices for

Survey of capability of remote sensing indices for enhancement of land cover in arid areas (case study: Najmabad)

Shirazi, M.^{1*}, Zehtabian, G.H.² and Matinfar, H.R.³

1*- Corresponding Author, M.Sc of Desertification, Faculty of Natural Resources, University of Tehran, Karaj, Iran,
Email: mtr_shirazi@yahoo.com

2- Professor, Faculty of Natural Resources University of Tehran, Karaj, Iran.

3- Assistant Professor, Faculty of Agriculture, University of Lorestan, Khorramabad, Iran.

Received: 11.08.2009 Accepted: 03.03.2010

Abstract

Recently there is a great deal of interest in the quantitative characterization of temporal and spatial vegetation patterns with remotely sensed data for the study of earth system science. One of important methods for extracting information from satellites image is use of indices. In this study for enhancement of land cover in region of northwest Tehran near Hashtgerd some indices such as BI, MIRV2, GREENNESS, TVI, VNIR, MND ,NIR, OSAVI, RA, NDVI, IR1, MSI IPV ,MSAVI, SAVI, TSAVI, PD322 ,BI, INT1, INT2, PVI, SI1, SI2, SI3, GEMI, WDVI Are used. Most of study area covers by density of vegetation (such as irrigation farming and vegetation cover around streams) and bare lands. The results have shown that TSAVI, DVI, IPVI, RA, NIR, IR1 Indices have the most effective efficiency for vegetation enhancement and SI2, BI, TVI, PVI, INT1, SI3, SI2 indices have the most effective efficiency for salinity surface. This study addressed that all of vegetation indices except DVI have correlation more than 0.8 and DVI has correlation around 0.4 with others. Meanwhile all of salinity indices have more than 0.9 correlations with each other. As conclusion, this study has shown that IRS satellites image have high accuracy for providing land cover map by use of vegetation indices, also use of salinity indices having high capability for salinity surface can be used for providing salinity maps, meanwhile vegetation indices with high correlation can be used instead each other for providing vegetation maps.

Keywords: salinity indices, vegetation indices, Liss-III sensor, land cover map, correlation, soil line.